

ТЕЛЕКОМУНІКАЦІЙНІ МЕРЕЖІ І СИСТЕМИ

*Воробийенко П.П., Василю Е.В.
Одесская национальная академия связи им. А.С. Попова*

**ОПТИМАЛЬНАЯ НЕКОГЕРЕНТНАЯ АТАКА
НА КВАНТОВЫЕ ПРОТОКОЛЫ РАСПРЕДЕЛЕНИЯ КЛЮЧЕЙ
С ПЕРЕДАЧЕЙ ТРЕХМЕРНЫХ КВАНТОВЫХ СИСТЕМ**

Квантовое распределение ключей, основанное на фундаментальных законах квантовой механики, – это способ для двух удаленных сторон, обычно называемых Алисой и Бобом, генерировать общий секретный ключ для симметричного шифрования. Законы квантовой механики гарантируют безопасность квантового канала коммуникации в том смысле, что подслушивающий агент (Ева) может быть обнаружен легитимными пользователями [1, 2].

Существуют две основных схемы квантового распределения ключей: первая основана на передаче одиночных квантовых состояний, относящихся к неортогональным базисам (типа протоколов BB84 и с 6-ю состояниями [1, 2]), а вторая – на распределении перепутанных квантовых состояний между пользователями (типа схемы Экерта [1, 2]). Для передачи можно использовать двух-, трех- и т. д. мерные квантовые системы, соответственно каждая такая система несет один бит, один трит и т. д. информации.

Безопасность протоколов, основанных на передаче двумерных квантовых систем – кубитов, к настоящему времени исследована теоретически достаточно полно, а их потенциальная применимость для безопасного распределения ключа между двумя удаленными на большое расстояние пользователями продемонстрирована экспериментально [2]. Однако эффективность таких протоколов, определяемая как отношение использованного для создания ключа количества битов к общему количеству переданных битов, невелика. Использование для передачи многомерных квантовых систем является одним из путей увеличения эффективности протокола, а соответственно и скорости генерации ключа.

Недавно были предложены протоколы с передачей трехмерных квантовых систем (кутритов) обоих вышеназванных типов: протокол с передачей одиночных кутритов, относящихся к неортогональным базисам [3] (обобщение протокола с 6-ю состояниями на трехмерные системы), и протокол с передачей перепутанных пар кутритов, состояния которых восстанавливаются методом квантовой томографии – так называемый томографический протокол [4]. Была найдена также оптимальная некогерентная атака с использованием квантовых проб на эти протоколы. В [5] было предложено обобщение на кутриты оригинального протокола Экерта, а также рассмотрена симметричная некогерентная атака на предложенный протокол. Однако оптимизация атаки по параметрам проб не проводилась, поэтому вопрос о надежности протокола [5] остался открытым.

Цель настоящей работы – провести анализ и оптимизацию некогерентной атаки на протокол с перепутанными кутритами, предложенный в [5], а также сравнить стойкость этого протокола к некогерентной атаке со стойкостью других протоколов с кутритами [3, 4]. В качестве меры стойкости протокола используется шенноновская взаимная информация между Алисой и Евой $I_{AE}(D)$, являющаяся функцией среднего уровня ошибок D , вносимых Евой в просеянный ключ вследствие перехвата.

В [5] получены выражения для взаимной информации между Алисой и Бобом и Алисой и Евой, как функции от параметров F и λ квантовых проб Евы:

$$I_{AB}(F, \lambda) = 2 \log_2 3 + \frac{1}{3}(1 + F\lambda) \{ \log_2(1 + F\lambda) - \log_2 9 \} + \frac{2}{3}(1 - F\lambda) \{ \log_2(1 - F\lambda) - \log_2 9 \}; \quad (1)$$

$$I_{AE}(F, \lambda) = \log_2 3 - 3 \langle \tilde{E}_{00} | \tilde{E}_{00} \rangle \log_2 \langle \tilde{E}_{00} | \tilde{E}_{00} \rangle - 6 \langle \tilde{E}_{11} | \tilde{E}_{11} \rangle \log_2 \langle \tilde{E}_{11} | \tilde{E}_{11} \rangle -$$

$$- \left[-3 \langle \tilde{E}_{00} | \tilde{E}_{00} \rangle W_1 \log_2 \left(\langle \tilde{E}_{00} | \tilde{E}_{00} \rangle W_1 \right) - 6 \langle \tilde{E}_{00} | \tilde{E}_{00} \rangle (1 - W_1)^2 \log_2 \left(\langle \tilde{E}_{00} | \tilde{E}_{00} \rangle (1 - W_1)^2 \right) - \right.$$

$$\left. - 6 \langle \tilde{E}_{11} | \tilde{E}_{11} \rangle W_2 \log_2 \left(\langle \tilde{E}_{11} | \tilde{E}_{11} \rangle W_2 \right) - 12 \langle \tilde{E}_{11} | \tilde{E}_{11} \rangle (1 - W_2)^2 \log_2 \left(\langle \tilde{E}_{11} | \tilde{E}_{11} \rangle (1 - W_2)^2 \right) \right], \quad (2)$$

где $\left\{ \left\langle \tilde{E}_{kl} \right\rangle \right\}$ – состояния проб Евы после измерения, а их скалярные произведения определяются выражениями

$$\left\langle \tilde{E}_{00} \left| \tilde{E}_{00} \right\rangle = \frac{1+2F\lambda}{9}; \quad \left\langle \tilde{E}_{11} \left| \tilde{E}_{11} \right\rangle = \frac{1-F\lambda}{9}. \quad (3)$$

В (1), (2) и последующих формулах для взаимной информации единицей измерения является бит.

Величины W_1 и W_2 в (2) представлены формулами [5]

$$W_1 = \left(\frac{1}{3} \sqrt{1+2\tilde{\lambda}_1} + \frac{2}{3} \sqrt{1-\tilde{\lambda}_1} \right)^2; \quad W_2 = \left(\frac{1}{3} \sqrt{1+2\tilde{\lambda}_2} + \frac{2}{3} \sqrt{1-\tilde{\lambda}_2} \right)^2, \quad (4)$$

где

$$\tilde{\lambda}_1 = \frac{1}{2} \frac{3F+4F\lambda-1}{1+2F\lambda}; \quad \tilde{\lambda}_2 = \frac{1}{2} \frac{3F-2F\lambda-1}{1-F\lambda}. \quad (5)$$

Средний уровень ошибок между Алисой и Бобом зависит от параметров проб Евы следующим образом [5]

$$D = \frac{2}{3}(1-F\lambda). \quad (6)$$

Чтобы не быть выявленной легитимными пользователями при проверке нарушения неравенств Белла [1], Ева должна выбирать параметры F и λ так, чтобы выполнялось условие

$$F\lambda \geq \frac{6\sqrt{3}-9}{2} \approx 0,69615. \quad (7)$$

Для определения уровня стойкости этого протокола к некогерентной атаке необходимо найти зависимости $I_{AB}(D)$ и $I_{AE}(D)$, которые не были получены в [5]. Первое выражение легко получить подстановкой $F\lambda$ из (6) в (1):

$$I_{AB}(D) = 2 \log_2 3 + \left(\frac{2}{3} - \frac{D}{2} \right) \left\{ \log_2 \left(2 - \frac{3}{2} D \right) - \log_2 9 \right\} + D \left\{ \log_2 \left(\frac{3}{2} D \right) - \log_2 9 \right\}. \quad (8)$$

Что касается I_{AE} , то из (2)...(6) видно, что эта величина, кроме зависимости от D , будет зависеть также от одного из параметров проб. Это дает Еве возможность максимизировать информацию о ключе выбором одного из параметров своих проб. Для этого Ева должна сначала выбрать средний уровень ошибок D , который она будет создавать при перехвате, так, чтобы он не намного превышал естественный уровень шумов в канале, а затем выбрать один из параметров проб – F или λ – так, чтобы величина I_{AE} была максимальной. Второй параметр при этом будет однозначно определяться из (6) для каждого фиксированного D , а Ева должна также следить за тем, чтобы параметры ее проб удовлетворяли условию (7).

Зависимость I_{AE} от параметра F представляет собой громоздкое выражение, которое здесь не приводится ввиду того, что, как следует из нашего анализа, I_{AE} зависит от F монотонно. При этом максимальную информацию Ева может получить, выбрав $F = 0,69615$, что соответствует $\lambda = 1$. Однако минимальный уровень ошибок, который возникает у легитимных пользователей при таком выборе параметров проб, равен 20,257 %. Очевидно, в этом случае атака будет легко обнаружена, либо прямой проверкой уровня ошибок, который будет значительно превышать естественный уровень помех в квантовом канале, либо проверкой нарушений неравенств Белла (из (6) и (7) следует, что неравенства Белла не нарушаются при $D > 0,20257$).

Получим теперь выражение для $I_{AE}(D|\lambda)$. Для этого подставим F из (6) в (5), а затем полученные выражения для $\tilde{\lambda}_1$ и $\tilde{\lambda}_2$ подставим в (4). Тогда

$$W_1(D|\lambda) = \frac{1}{9(1-D)} \left[\frac{1,5D-1}{\lambda} - 3D + 4 + 2 \sqrt{\left(\frac{2-3D}{\lambda} - 6D + 4 \right) \left(1 - \frac{1-1,5D}{\lambda} \right)} \right]; \quad (9)$$

$$W_2(D|\lambda) = \frac{1}{9D} \left[\frac{3D-2}{\lambda} + 3D + 2 + 4 \sqrt{\left(\frac{2-3D}{\lambda} + 3D - 2 \right) \left(1 - \frac{1-1,5D}{\lambda} \right)} \right]. \quad (10)$$

Подставив теперь $F\lambda$ из (6) в (3), а затем полученные выражения – в (2), получим окончательно:

$$I_{AE}(D|\lambda) = \log_2 3 - (1-D) \log_2 \frac{1-D}{3} - D \log_2 \frac{D}{6} + (1-D) W_1(D|\lambda) \log_2 \frac{(1-D) W_1(D|\lambda)}{3} + \\ + 2(1-D)(1-W_1(D|\lambda))^2 \log_2 \frac{(1-D)(1-W_1(D|\lambda))^2}{3} + D W_2(D|\lambda) \log_2 \frac{D W_2(D|\lambda)}{6} + \\ + 2D(1-W_2(D|\lambda))^2 \log_2 \frac{D(1-W_2(D|\lambda))^2}{6}, \quad (11)$$

где $W_1(D|\lambda)$ и $W_2(D|\lambda)$ определены в (9) и (10) соответственно.

На рис. 1 приведены зависимости $I_{AE}(D|\lambda)$ для различных значений параметра λ . Видно, что эта величина зависит от λ не монотонно. Вертикальная штриховая линия на рис. 1 соответствует $D = 0,20257$.

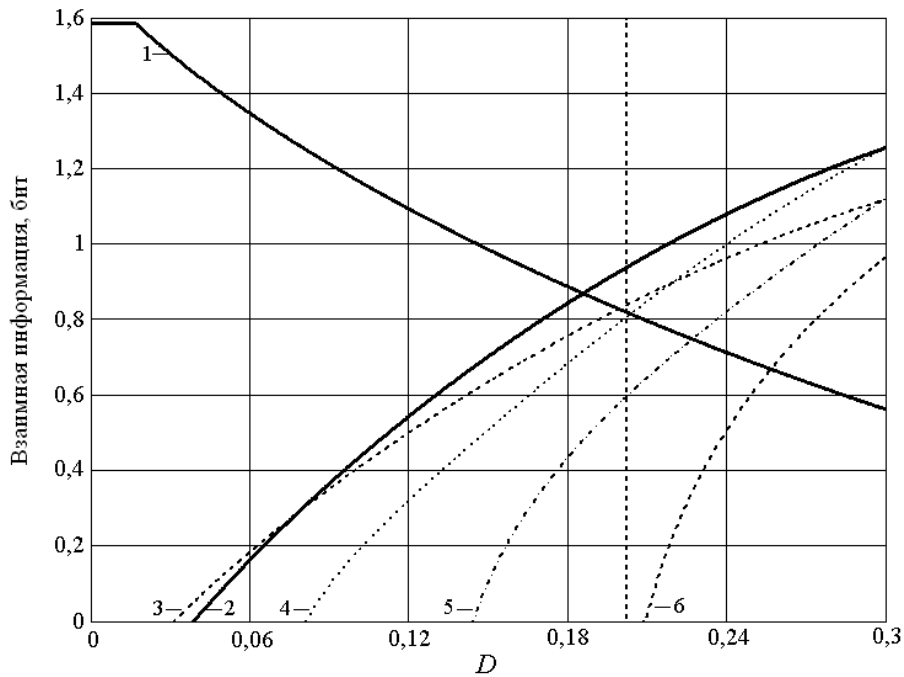


Рисунок 1 – Взаимная информация $I_{AB}(D)$ (кр. 1) и $I_{AE}(D|\lambda)$ для значений параметра λ : 0,9827 (кр. 2), 1 (кр. 3), 0,9 (кр. 4), 0,8 (кр. 5), 0,7 (кр. 6)

Чтобы найти значение параметра λ , которое было бы оптимальным для Евы, необходимо использовать теорему Цизара и Кернера, в соответствии с которой Алиса и Боб могут установить секретный ключ посредством процедуры усиления секретности, если взаимная информация между ними больше взаимной информации между Алисой и Евой [1]. Вследствие этого в квантовой криптографии верхней границей допустимого уровня ошибок считают значение D_{\max} , которое получают из уравнения $I_{AB}(D_{\max}) = I_{AE}(D_{\max})$. Таким образом, для определения D_{\max} как функции от λ необходимо приравнять правые части (8) и (11). Уравнение, которое получается при этом, можно решить только численно. Решая это уравнение для различных значений λ , можно найти такое, которому соответствует минимальное значение D_{\max} . Именно это значение λ и будет оптимальным для Евы.

Решая уравнение, полученное приравниванием (8) и (11), мы нашли, что минимальному D_{\max} , равному 0,186, соответствует $\lambda = 0,9827$ (кривая 2 на рис. 1). Как видно, при таком значении

λ Ева может получить больше информации, чем при любом другом λ , в широком интервале значений уровня ошибок D .

Выражения для $I_{AB}(D)$, а также для $I_{AE}(D)$ при оптимальной некогерентной атаке на протокол с передачей одиночных кутритов были получены в [3]:

$$I_{AB}(D) = \log_2 3 + (1-D)\log_2(1-D) + D\log_2\left(\frac{D}{2}\right); \quad (12)$$

$$I_{AE}(D) = \log_2 3 + (1-D)\left[f(D)\log_2 f(D) + (1-f(D))\log_2\left(\frac{1-f(D)}{2}\right)\right], \quad (13)$$

где $f(D) = \frac{3-2D + \sqrt{(3-2D)^2 - 9(1-2D)^2}}{9(1-D)}$.

Соответствующие выражения для томографического протокола с кутритами имеют вид [4]

$$I_{AB}(D) = \log_2 3 + \beta_0 \log_2 \beta_0 + (1-\beta_0)\log_2 \beta_1; \quad (14)$$

$$I_{AE}(D) = \log_2 3 + \beta_0[\eta_0 \log_2 \eta_0 + (1-\eta_0)\log_2 \eta_1], \quad (15)$$

где $\beta_0 = 1-D$; $\beta_1 = \frac{D}{2}$; $\eta_0 = 1-2\eta_1$; $\eta_1 = \frac{1}{3}(\sqrt{r_0} - \sqrt{r_1})^2$; $r_0 = 1 - \frac{\beta_1}{\beta_0} + r_1$; $r_1 = \frac{\beta_1}{3\beta_0}$.

Путем несложных алгебраических преобразований можно доказать тождественность выражений (12) и (14), а также тождественность выражений (13) и (15). Таким образом, протокол с передачей одиночных кутритов [3] и томографический протокол с кутритами [4] имеют одинаковую стойкость к оптимальной некогерентной атаке.

На рис. 2 приведены зависимости $I_{AB}(D)$ и $I_{AE}(D)$ для протокола с перепутанными кутритами [5] (кривые 1, 3), а также для протоколов [3] и [4] (кривые 2, 4), где $I_{AE}(D|\lambda)$ для протокола [5] построено при $\lambda = 0,9827$, что соответствует найденному оптимальному значению этого параметра для Евы. Кривые 1 и 3 пересекаются в точке $D = 0,186$, а кривые 2 и 4 – в точке $D = 0,227$. Таким образом, из теоремы Цизара-Кернера следует, что протоколы, предложенные в [3] и [4], более стойки к оптимальной некогерентной атаке, чем протокол с перепутанными кутритами, предложенный в [5].

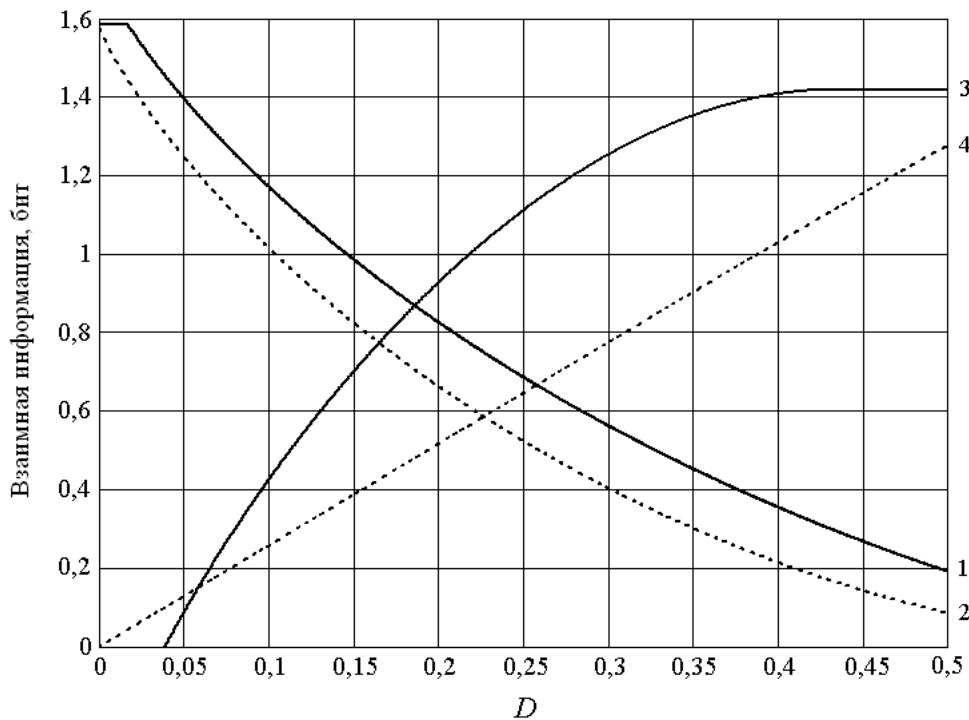


Рисунок 2 – Взаимная информация $I_{AB}(D)$ (кривые 1 и 2) и $I_{AE}(D)$ (кривые 3 и 4) для трех протоколов с кутритами (см. текст)

При использовании идеального источника, приемника сигналов и измерительной аппаратуры, а также бесшумного квантового канала, эффективность протокола с одиночными кутритами [3], как и томографического протокола [4] равна $1/4$, а протокола с перепутанными кутритами [5] – $1/9$. Отсюда следует, что из трех рассмотренных протоколов наилучшими, как по критерию эффективности, так по критерию стойкости к некогерентной атаке, являются два протокола – протокол с одиночными кутритами и томографический протокол.

Таким образом, найдены оптимальные параметры квантовых проб для некогерентной атаки на протокол с перепутанными кутритами, предложенный в [5]. Показано, что стойкость к оптимальной некогерентной атаке протокола с одиночными кутритами и томографического протокола с кутритами, предложенных в [3] и [4] соответственно, одинакова. При этом стойкость этих двух протоколов выше стойкости протокола [5]. Учитывая также, что эти протоколы имеют большую эффективность, чем протокол [5], оба их следует считать наиболее перспективными для практического использования. Если учесть также сложность технической реализации трех рассмотренных протоколов, то наиболее простым с этой точки зрения в настоящее время является протокол с передачей одиночных кутритов [3]. Следовательно, этот протокол следует признать наилучшим в смысле эффективности, простоты технической реализации и стойкости к оптимальной некогерентной атаке.

Литература

1. Баумейстер Д., Экерт А., Цайлингер А. Физика квантовой информации. – М.: Постмаркет, 2002. – 376 с.
2. Dusek M., Lutkenhaus N., Hendrych M. Quantum Cryptography // Progress in Optics. – V. 49. – Elsevier, 2006. – P. 381–454.
3. Bruß D., Macchiavello C. Optimal Eavesdropping in Cryptography with Three-Dimensional Quantum States // Physical Review Letters. – 2002. – V. 88, № 12. – Art. 127901.
4. Liang Y.C., Kaszlikowski D., Englert B.-G., Kwek L.C., Oh C.H. Tomographic quantum cryptography // Physical Review A. – 2003. – V. 68, № 2. – Art. 022324.
5. Kaszlikowski D., Chang K., Oi D.K.L., Kwek L.C., Oh C.H. Quantum Cryptography Based On Bell Inequalities for Three-Dimensional System // Physical Review A. – 2003. – V. 67, № 1. – Art. 012310.